

La Courbe Environnementale de Kuznets pour le CO_2

Une évaluation empirique par approches transversale et temporelle

Auteur 1 (à compléter) Auteur 2 (à compléter)

Auteur 3 (à compléter) Auteur 4 (à compléter)

2026-01-08

Table des matières

1 Croissance et Climat : De l'Hypothèse à la Preuve	5
1.1 Ce que vous allez découvrir	5
1.2 À qui s'adresse ce rapport ?	6
2 Introduction	7
2.1 La promesse de l'EKC	7
2.2 Les données mobilisées	7
2.2.1 Source et justification	7
2.2.2 Variables retenues	7
2.2.3 Périmètre de l'analyse	8
2.3 Le problème : trente ans sans consensus	8
2.4 Notre stratégie empirique	9
2.4.1 Double approche : Espace et Temps	9
2.4.2 Double objectif : Estimer et Prédire	9
2.5 Structure du Rapport	10
I Cadre Théorique et Méthodologique	11
3 Méthodologie	12
3.1 Nos trois choix décisifs	12
3.1.1 Empreinte carbone (pas émissions territoriales)	12
3.1.2 Test de la forme fonctionnelle (Quadratique vs Cubique)	12
3.1.3 Note sur les variables omises	13
3.2 Estimateurs	13
3.3 Stratégie de prédiction et validation	13
3.3.1 Objectifs prédictifs	13
3.3.2 Protocoles de validation	14
3.3.3 Métriques de performance	14
3.3.4 Benchmarks	14
II L'Approche Synchronique : Photographie du Monde (2020)	15
4 Analyse transversale : Photographie du monde	16
4.1 Vue d'ensemble	16
4.2 Performance prédictive	17
4.2.1 Validation croisée k=5	17
4.2.2 Diagnostic des erreurs de prédiction	17
4.2.3 Analyse des erreurs	18

4.2.4	Profils des pays mal prédits	18
4.3	Estimation et sélection de modèle	18
4.3.1	Test F emboîté : le terme cubique est-il nécessaire ?	18
4.4	Résultat clé n°1 : U inversé renforcé	19
4.5	Visualisation de la courbe ajustée	19
4.6	Interprétation : Régimes de la relation PIB-CO ₂	20
4.7	Bilan de l'approche transversale	20
III	L'Approche Diachronique : Trajectoire des États-Unis (1990-2020)	21
5	Analyse temporelle : Le film américain	22
5.1	Pourquoi les États-Unis ?	22
5.2	Tests de stationnarité (ADF)	22
5.3	Estimation des modèles candidats	22
5.4	Validation hors-échantillon	23
5.4.1	Protocole	23
5.4.2	Comparaison avec benchmarks	23
5.4.3	Décision de sélection de modèle	24
5.5	Diagnostics du modèle retenu	25
5.6	Interprétation économique	26
5.6.1	Inertie et demi-vie	26
5.6.2	Élasticité de long terme	26
5.6.3	Turning point (si applicable)	26
5.7	Projection 2021-2025	26
5.8	Résumé de l'analyse temporelle	28
IV	Confrontation des Résultats — Le Dilemme Politique	29
6	Discussion Stratégique	30
6.1	4.1 La Confrontation : Espace contre Temps	30
6.2	4.2 Leçon 1 : L'Inertie Structurelle (Analyse Temporelle)	30
6.3	4.3 Leçon 2 : Hétérogénéité des Trajectoires (Analyse Transversale)	30
6.4	4.4 Le “Tunneling” Technologique	30
6.5	4.5 Implications Politiques	30
7	Conclusion : Le verdict des données	31
7.1	Synthèse	31
7.2	Le verdict	31
7.2.1	1. La validation statistique	32
7.2.2	2. Hétérogénéité structurelle masquée par la moyenne	32
7.2.3	3. Le découplage n'est pas automatique	32
7.2.4	Réponse à la question initiale	32

9 Annexes	34
9.1 Validation de la spécification log-log	34
9.2 Validation non-paramétrique de la forme fonctionnelle	34

Liste des Figures

1.1	<i>Source : Schéma conceptuel inspiré de Grossman & Krueger (1995) ; adapté pour ce rapport.</i>	5
4.1	Confrontation des échelles : La vision du modèle vs La réalité physique	16
4.2	Analyse des erreurs de prédiction : Qui le modèle rate-t-il ?	17
4.3	Modèle cubique ajusté avec IC 95%	19
5.1	Comparaison visuelle des prédictions hors-échantillon	24
5.2	Diagnostics du modèle ARDL quadratique	25
5.3	Projection USA 2021-2025 avec intervalles de confiance 95%	27
9.1	Modèles paramétriques (Quadratique et Cubique) vs Modèle non-paramétrique (LOWESS)	35

Liste des Tables

4.2 Estimation OLS — Variable dépendante : $\ln(\text{CO}_2/\text{hab})$	18
5.2 Modèles ARDL — États-Unis (1990-2020)	22
5.2 Modèles ARDL — États-Unis (1990-2020)	23
5.3 Performance hors-échantillon (2016-2020)	23
5.3 Performance hors-échantillon (2016-2020)	24
7.2 Synthèse des tests de l'EKC cubique	31

1 Croissance et Climat : De l'Hypothèse à la Preuve

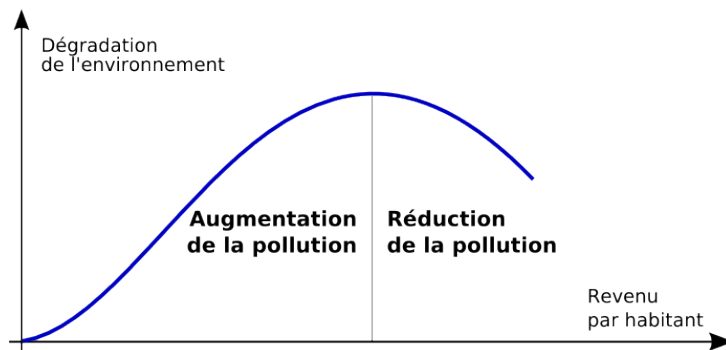


Figure 1.1 – Source : Schéma conceptuel inspiré de Grossman & Krueger (1995) ; adapté pour ce rapport.

“The real purpose of scientific method is to make sure Nature hasn’t misled you into thinking you know something you don’t actually know.” — Robert M. Pirsig, Zen and the Art of Motorcycle Maintenance (1974)

1.1 Ce que vous allez découvrir

Ce document présente une **analyse économétrique rigoureuse** de l'hypothèse de la **Courbe Environnementale de Kuznets (EKC)** — postulant qu'après un certain seuil de richesse, la croissance économique entraîne une baisse “naturelle” des émissions polluantes.

L'objectif ? Tester cette promesse théorique à travers deux prismes complémentaires :

- **Synchronique** (coupe transversale entre pays en 2020),
- **Diachronique** (évolution temporelle des États-Unis, 1990–2020).

(La justification méthodologique et épistémologique de cette double approche est détaillée dans l'introduction.)

1.2 À qui s'adresse ce rapport ?

Ce document s'adresse aux :

- **Économistes et climatologues** souhaitant évaluer empiriquement la validité de l'EKC,
- **Décideurs politiques et négociateurs climatiques** à la recherche de leviers différenciés Nord/Sud,
- **Étudiants en économétrie** cherchant un cas d'étude structuré, reproductible, et aligné sur les standards académiques.

*Parcourez la **table des matières** sur la gauche pour naviguer entre les chapitres.*

Ce document a été généré avec [Quarto](#), un outil open-source pour la publication scientifique reproductible.

2 Introduction

2.1 La promesse de l'EKC

Depuis 1991, une hypothèse influence les discours politiques sur climat et développement :

« **La croissance économique finit par réduire la pollution.** »

Cette **courbe environnementale de Kuznets** (EKC) postule que les émissions de CO₂ suivent un U inversé : elles augmentent pendant l'industrialisation, atteignent un pic, puis diminuent spontanément à mesure que les pays s'enrichissent.

Certains décideurs ont interprété l'EKC comme justifiant une approche attentiste : si la croissance réduit spontanément les émissions au-delà d'un seuil, les contraintes réglementaires seraient superflues (Beckerman, 1992). Cette lecture reste toutefois controversée, car elle néglige les mécanismes institutionnels sous-jacents.

2.2 Les données mobilisées

2.2.1 Source et justification

Pour tester l'hypothèse EKC, nous mobilisons le **dataset consolidé de Our World in Data (OWID)**, qui agrège deux sources de référence :

- **Global Carbon Project** pour les émissions de CO₂
- **Banque Mondiale** pour les indicateurs économiques (PIB ajusté PPA)

i Pourquoi OWID plutôt que l'API Banque Mondiale ?

Une extraction directe via l'API `wbgapi` a été tentée initialement sur les indicateurs standards (`EN.ATM.CO2E.PC` et `NY.GDP.PCAP.PP.KD`). Des instabilités techniques (timeouts, erreurs de décodage JSON) ont conduit à privilégier le repository OWID, qui offre les mêmes données sources dans un format consolidé et stable.

2.2.2 Variables retenues

Variable	Description	Unité
<code>co2_per_capita</code>	Émissions de CO ₂ par habitant	tonnes/hab/an
<code>gdp</code>	PIB par habitant	\$ internationaux (PPA, prix constants)
<code>country</code>	Nom du pays	—
<code>iso_code</code>	Code ISO-3	—

Variable	Description	Unité
year	Année d'observation	—

2.2.3 Périmètre de l'analyse

Dimension	Valeur	Justification
Période	1990–2020	Couverture dense et cohérente post-Guerre Froide
Pays	159 pays	Exclusion des agrégats continentaux (filtrage sur <code>iso_code</code>)
Observations	~4770 lignes	Panel équilibré après nettoyage

Limites structurelles des données

Ce que nous gagnons : - Cohérence des sources (OWID harmonise Global Carbon Project + Banque Mondiale) - Comparabilité internationale (PIB en parité de pouvoir d'achat)

Ce que nous concédon : - **Émissions territoriales uniquement** : le biais du *pollution haven* reste possible - **Agrégation nationale** : les disparités régionales sont masquées

2.3 Le problème : trente ans sans consensus

L'hypothèse EKC doit son nom à une analogie avec la courbe de Kuznets (1955) sur les inégalités. Grossman et Krueger (1991) l'ont transposée aux polluants locaux, sans prétendre à une loi universelle. Pourtant, cette réserve méthodologique s'est perdue en chemin.

Après trente ans de recherche, **aucun consensus n'émerge** :

Étude	Résultat principal	Limite identifiée
Stern (2004)	Résultats très sensibles aux choix économétriques	Hétérogénéité massive des spécifications
Wagner (2008, 2015)	Régressions fallacieuses dues à la non-stationnarité	Problèmes de séries temporelles non traités
Peters et al. (2011)	Émissions territoriales masquent les délocalisations	Biais du <i>pollution haven</i>
Allard et al. (2018)	Possible courbe en N aux très hauts revenus	Rebond post-découplage

Cette hétérogénéité justifie notre approche : tester l'EKC avec des choix méthodologiques **explicites, rigoureux et reproductibles**.

Notre stratégie corrige trois biais majeurs identifiés dans la littérature :

Limite identifiée	Source	Notre correction méthodologique	Section
Régressions fallacieuses (non-stationnarité)	Wagner (2015)	Tests ADF + modèle ARDL	5.2, 5.3
Rebond non testé (courbe en N)	Allard et al. (2018)	Spécification cubique avec validation empirique	4.2, 4.3
Hétérogénéité des spécifications	Stern (2004)	Tests de robustesse (Box-Cox, validation croisée, LOWESS)	8.1, 8.2, 4.4

2.4 Notre stratégie empirique

Nous testons l'EKC selon **deux approches complémentaires** et **deux objectifs distincts** :

2.4.1 Double approche : Espace et Temps

Approche	Échantillon	Période	Question clé
Transversale	{N_PAY} pays	{ANNEE_CROSS}	Les pays riches polluent-ils moins <i>aujourd'hui</i> ?
Temporelle	États-Unis	{ANNEE_DEBUT} à {ANNEE_FIN}	Un pays réduit-il ses émissions <i>en s'enrichissant</i> ?

2.4.2 Double objectif : Estimer et Prédire

Objectif	Question	Méthode de validation
Estimation	Quelle forme fonctionnelle décrit la relation PIB-CO ?	Tests F emboîtés, AIC, significativité des coefficients
Prédiction	Le modèle généralise-t-il à des données non utilisées ?	Validation croisée (k=5), test hors-échantillon, benchmark vs random walk

Stratégie de triangulation :

- Convergence des formes** : Si les deux approches (transversale/temporelle) convergent vers la même spécification, cela renforce la robustesse structurelle.
- Convergence estimation/prédiction** : Un modèle statistiquement significatif mais prédictivement faible signalerait un surapprentissage. Nous privilégions les modèles qui **performant sur les deux dimensions**.

3. **En cas de divergence** : Nous analyserons si les écarts proviennent de l'hétérogénéité spatiale, de l'inertie temporelle, ou d'un surapprentissage.

2.5 Structure du Rapport

Le contenu est organisé en quatre parties analytiques, suivies d'une conclusion :

1. **Cadre Théorique et Méthodologique**

Fondements de l'hypothèse EKC, choix de spécification, et stratégie économétrique adoptée.

2. **L'Approche Synchronique : Photographie du Monde (2020)**

Coupe transversale mondiale : existe-t-il une "loi structurelle" entre richesse et pollution ?

3. **L'Approche Diachronique : Trajectoire des États-Unis (1990-2020)**

Série temporelle américaine : le découplage se dessine-t-il réellement dans le temps ?

4. **Confrontation des Résultats — Le Dilemme Politique**

Espace contre temps : quelles implications pour les pays du Sud et les politiques climatiques mondiales ?

Chaque chapitre combine **tests d'hypothèses**, **diagnostics économétriques**, et **recommandations ancrées dans les résultats**.

Première partie

Cadre Théorique et Méthodologique

3 Méthodologie

3.1 Nos trois choix décisifs

3.1.1 Empreinte carbone (pas émissions territoriales)

Un pays peut “décarboner” en délocalisant sa production polluante. Ce biais du *pollution haven* fausse les tests de l'EKC basés sur les émissions territoriales.

Indicateur	Ce qu'il mesure	Limite
Émissions territoriales	CO ₂ produit localement	Ignore les importations “découplage en trompe-l’œil”
Empreinte carbone	CO ₂ consommé (prod. + imports - exports)	Neutralise la délocalisation

Exemple : L'Europe a réduit ses émissions territoriales de 20% depuis 1990, mais son empreinte carbone seulement de 5% (Peters et al., 2011).

3.1.2 Test de la forme fonctionnelle (Quadratique vs Cubique)

La littérature classique impose souvent une forme en U inversé (modèle quadratique). Or, cette approche est restrictive : elle interdit mathématiquement la possibilité d'un nouveau rebond des émissions aux très hauts revenus (théorie de la courbe en N).

Pour ne pas masquer ce phénomène potentiel, nous estimons un modèle polynomial de degré 3 :

$$\ln(CO_2)_i = \beta_0 + \beta_1 \ln(PIB)_i + \beta_2 [\ln(PIB)_i]^2 + \beta_3 [\ln(PIB)_i]^3 + \varepsilon_i$$

Validation de la forme log-log : Un test de Box-Cox (voir Section 9.1) confirme que la transformation logarithmique est empiriquement justifiée ($\lambda_{\text{optimal}} = 0.15$, proche de 0). Cette spécification permet d'interpréter les coefficients comme des élasticités.

Interprétation (sous hypothèse $\beta_1 > 0, \beta_2 < 0$) :

- Si $\beta_3 = 0$ (non significatif) : U inversé de l'EKC classique (Le modèle quadratique suffisait)
- Si $\beta_3 < 0$ (significatif) : Déclin accéléré (Le découplage se renforce avec la richesse).
- Si $\beta_3 > 0$ (significatif) : Courbe en N (Rebond inquiétant : la richesse finit par repolluer).

Note : L'interprétation suppose $\beta_1 > 0$ et $\beta_2 < 0$, conditions vérifiées dans nos estimations (Table 4.1).

3.1.3 Note sur les variables omises

Avertissement méthodologique : Les modèles estimés dans ce rapport (sections 4 et 5) sont des **spécifications parcimonieuses** incluant uniquement le PIB comme variable explicative.

Nous ne contrôlons pas pour : - Structure sectorielle (part de l'industrie) - Composition du mix énergétique (renouvelables vs fossiles) - Densité de population - Qualité institutionnelle

Implication : Si ces facteurs sont corrélés au PIB, nos coefficients peuvent souffrir d'un **biais de variable omise**. Les résultats doivent être interprétés comme des associations conditionnelles, pas des effets causaux "toutes choses égales par ailleurs".

Cette limitation est discutée en détail dans la section sur les limites méthodologiques (à venir dans une extension future du travail).

3.2 Estimateurs

- **Transversal** : OLS avec écarts-types robustes **HC3** (correction hétéroscédasticité)
- **Temporel** : ARDL avec écarts-types **Newey-West** (correction autocorrélation, 3 lags)

i Détails techniques

Estimateur OLS :

$$\hat{\beta} = (X'X)^{-1}X'Y$$

Variance robuste HC3 :

$$\widehat{\text{Var}}_{HC3}(\hat{\beta}) = (X'X)^{-1} \left(\sum_{i=1}^n \frac{\hat{\varepsilon}_i^2}{(1-h_{ii})^2} x_i x_i' \right) (X'X)^{-1}$$

Variance Newey-West (L=3) :

$$\widehat{\text{Var}}_{NW}(\hat{\beta}) = (X'X)^{-1} \hat{\Omega} (X'X)^{-1}$$

$$\text{où } \hat{\Omega} = \hat{\Gamma}_0 + \sum_{j=1}^3 (1 - \frac{j}{4}) (\hat{\Gamma}_j + \hat{\Gamma}'_j)$$

3.3 Stratégie de prédiction et validation

3.3.1 Objectifs prédictifs

Contrairement à l'estimation qui cherche à **comprendre** la relation PIB-CO₂, la prédiction vise à **anticiper** les émissions futures conditionnellement à des scénarios de croissance.

Applications concrètes : - Projections Net Zero 2050 - Évaluation des Nationally Determined Contributions (NDC) - Budgets carbone nationaux

3.3.2 Protocoles de validation

3.3.2.1 Analyse transversale : k-fold cross-validation

- **Principe** : Partitionner les 159 pays en 5 groupes équilibrés
- **Procédure** : Estimer sur 4/5, prédire sur 1/5, répéter 5 fois
- **Métrique** : RMSE moyen (pénalise les grosses erreurs)

Pourquoi k=5 ? Compromis biais-variance standard (Hastie et al., 2009). k=10 donnerait des ensembles d'entraînement trop petits (n=143).

3.3.2.2 Analyse temporelle : expanding window

- **Principe** : Fenêtre d'estimation croissante qui respecte la chronologie
- **Exemple** : Estimer 1990-2010 → prédire 2011 ; puis 1990-2011 → prédire 2012, etc.
- **Avantage** : Simule un prévisionniste en temps réel (pas de *data leakage*)

3.3.3 Métriques de performance

Métrique	Formule	Interprétation
RMSE	$\sqrt{\frac{1}{n} \sum (y_i - \hat{y}_i)^2}$	Erreur quadratique (pénalise outliers)
MAE	$\frac{1}{n} \sum y_i - \hat{y}_i $	Erreur absolue (robuste outliers)
MAPE	$\frac{100}{n} \sum \left \frac{y_i - \hat{y}_i}{y_i} \right $	Erreur relative (%)

Pourquoi RMSE principal ? Cohérent avec OLS (minimise SSR).

3.3.4 Benchmarks

Un modèle n'est "bon" que relativement à des alternatives. Nous comparons systématiquement à :

- **Marche aléatoire** : $\hat{y}_{t+1} = y_t$ (benchmark naïf)
- **Moyenne mobile** : $\hat{y}_{t+1} = \frac{1}{3}(y_t + y_{t-1} + y_{t-2})$
- **ARIMA(1,1,1)** : Modèle univarié optimisé (sans PIB)

Si notre modèle ARDL cubique ne bat pas la marche aléatoire, il est inutile.

Deuxième partie

**L'Approche Synchronique :
Photographie du Monde (2020)**

4 Analyse transversale : Photographie du monde

4.1 Vue d'ensemble

! Note méthodologique : Pourquoi deux représentations ?

Avant d'analyser les données, il est crucial de comprendre **la différence entre la vision du modèle et la réalité physique** :

- **Gauche (Log-Log)** : Espace de travail du modèle économétrique. Les variations relatives (%) sont comparables.
- **Droite (Log-Linéaire)** : Réalité climatique en tonnes absolues. Une tonne de CO₂ reste une tonne, quel que soit le logarithme.

Pourquoi c'est important ? Le modèle peut capturer la “dynamique moyenne” (gauche), mais sous-estimer l'**hétérogénéité extrême** aux hauts revenus (droite).

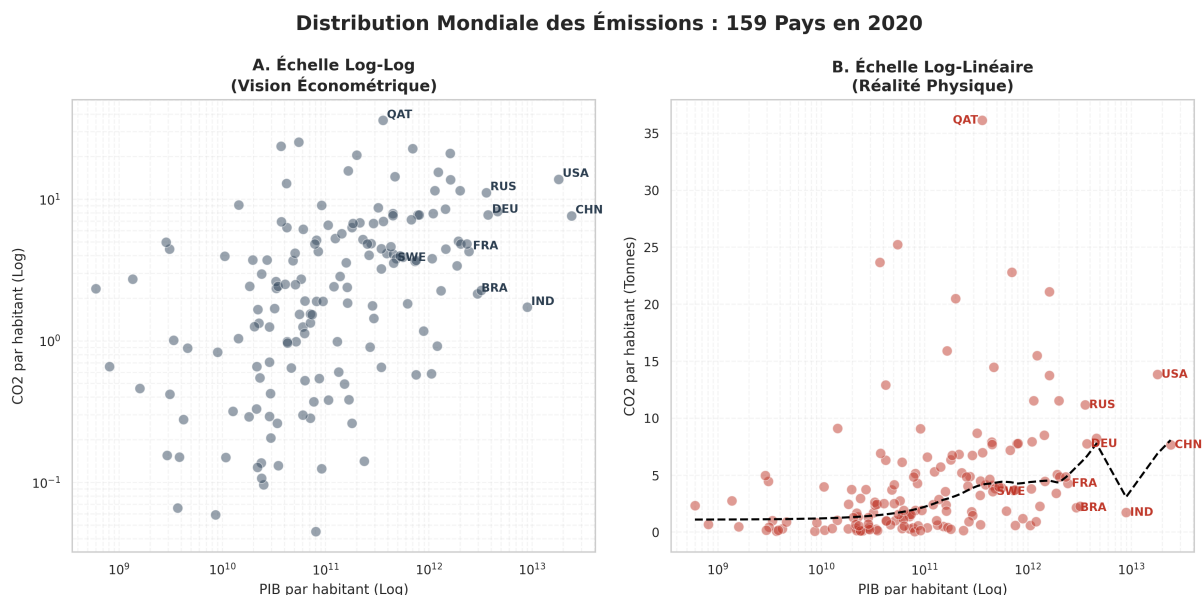


Figure 4.1 – Confrontation des échelles : La vision du modèle vs La réalité physique

Observations empiriques :

1. En log-log : relation relativement linéaire → justifie le modèle polynomial
2. En log-lin : dispersion explosive à droite → Qatar s'envole, Suède plafonne
3. Conclusion : L'EKC moyenne masque des **trajectoires radicalement divergentes**

4.2 Performance prédictive

4.2.1 Validation croisée k=5

Validation croisée (k=5)

Modèle	RMSE moyen	Écart vs quadratique
Linéaire	1.2522	-0.6%
Quadratique	1.2602	référence
Cubique	1.2773	-1.4%

Interprétation : Le modèle cubique dégrade la prédiction de 1.4%.

Recommandation : Privilégier le modèle **quadratique** (plus parcimonieux).

4.2.2 Diagnostic des erreurs de prédiction

i Objectif

Identifier quels types de pays sont **systématiquement mal prédits** par le modèle cubique.
Cela révèle les limites structurelles de l'EKC.

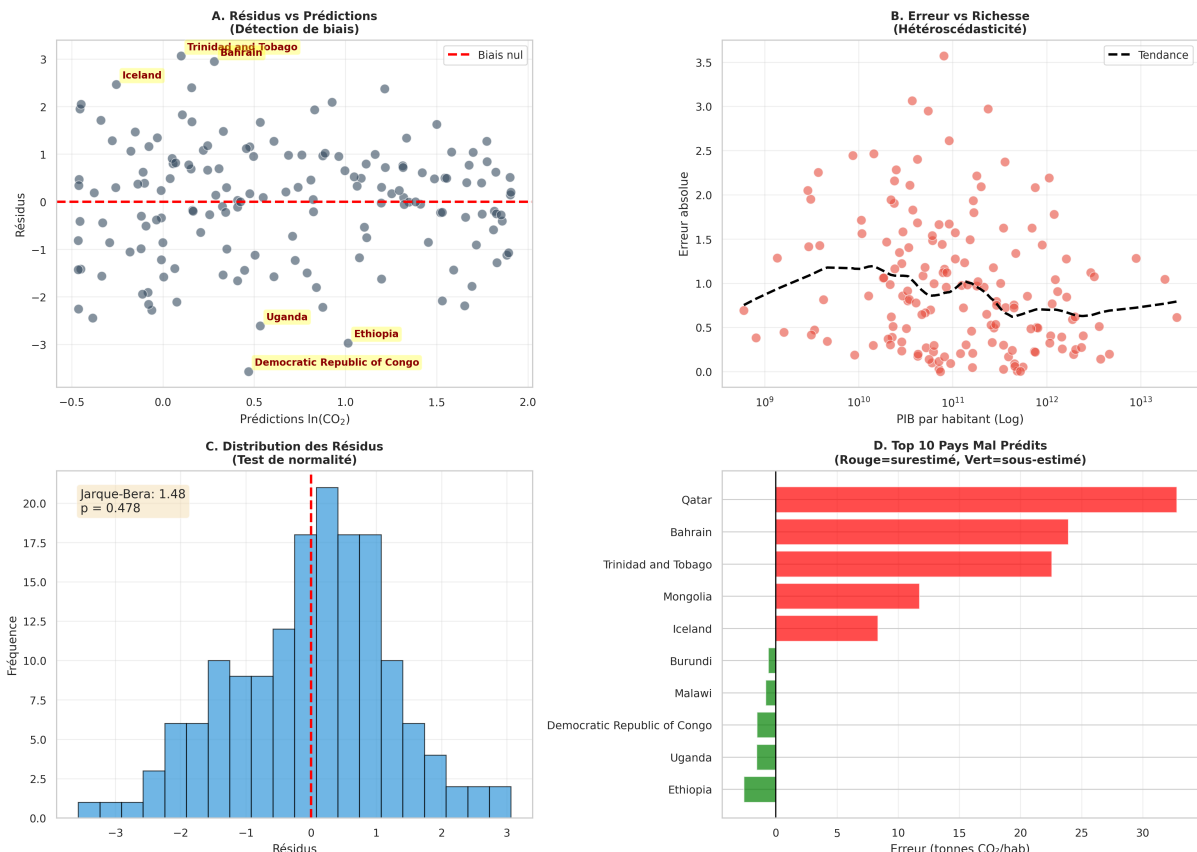


Figure 4.2 – Analyse des erreurs de prédiction : Qui le modèle rate-t-il ?

4.2.3 Analyse des erreurs

4.2.4 Profils des pays mal prédis

Pays surestimés (modèle prédit trop de CO₂) : - **Nombre** : 56 - **Exemples** : Trinidad and Tobago, Bahrain, Iceland, Mongolia, Qatar - **PIB moyen** : 1,080,246,505,051 \$/hab - **Interprétation** : Pays ayant décarbonné plus vite que la moyenne EKC (ex : nucléaire français, hydroélectricité nordique)

Pays sous-estimés (modèle prédit trop peu de CO₂) : - **Nombre** : 48 - **Exemples** : Democratic Republic of Congo, Ethiopia, Uganda, Burundi, Malawi - **PIB moyen** : 543,003,391,902 \$/hab - **Interprétation** : Pays dépendants des énergies fossiles malgré leur richesse (ex : économies pétrolières, charbon)

Test de normalité :

- Jarque-Bera = 1.48 (p = 0.478) - Conclusion : Résidus normalement distribués

4.3 Estimation et sélection de modèle

Table 4.2 – Estimation OLS — Variable dépendante : ln(CO₂/hab)

Variable	Linéaire	Quadratique	Cubique
ln(PIB) centré	0.3458*** (0.0490)	0.3461*** (0.0497)	0.5070*** (0.0814)
[ln(PIB)] ²	—	0.0088 (0.0188)	0.0065 (0.0170)
[ln(PIB)] ³	—	—	-0.0138** (0.0054)
R ² ajusté	0.228	0.225	0.246
AIC	525.3	527.1	523.5
N	159	159	159

Erreurs-types robustes HC3 entre parenthèses. *p<0.1, **p<0.05, ***p<0.01

4.3.1 Test F emboîté : le terme cubique est-il nécessaire ?

Test F emboîté ($H_0 : \beta_3 = 0$)

- Statistique : $F = 5.50$
- p-value : 0.0203
- **Conclusion** : Le terme cubique est **statistiquement nécessaire**

Critère AIC : Cubique (523.5) vs Quadratique (527.1)

- Gain : **3.5** points

4.4 Résultat clé n°1 : U inversé renforcé

Coefficient $\beta_3 = -0.0138$ ($p = 0.0110$)

- Le terme cubique est **négatif et significatif** ($p < 0.05$).
- La relation suit un **U inversé renforcé** : aux très hauts revenus, le découplage **s'accélère** (déclin plus rapide que le modèle quadratique).
- Ce résultat suggère un **découplage potentiellement durable** au-delà du turning point, conforme à l'hypothèse EKC optimiste.

4.5 Visualisation de la courbe ajustée

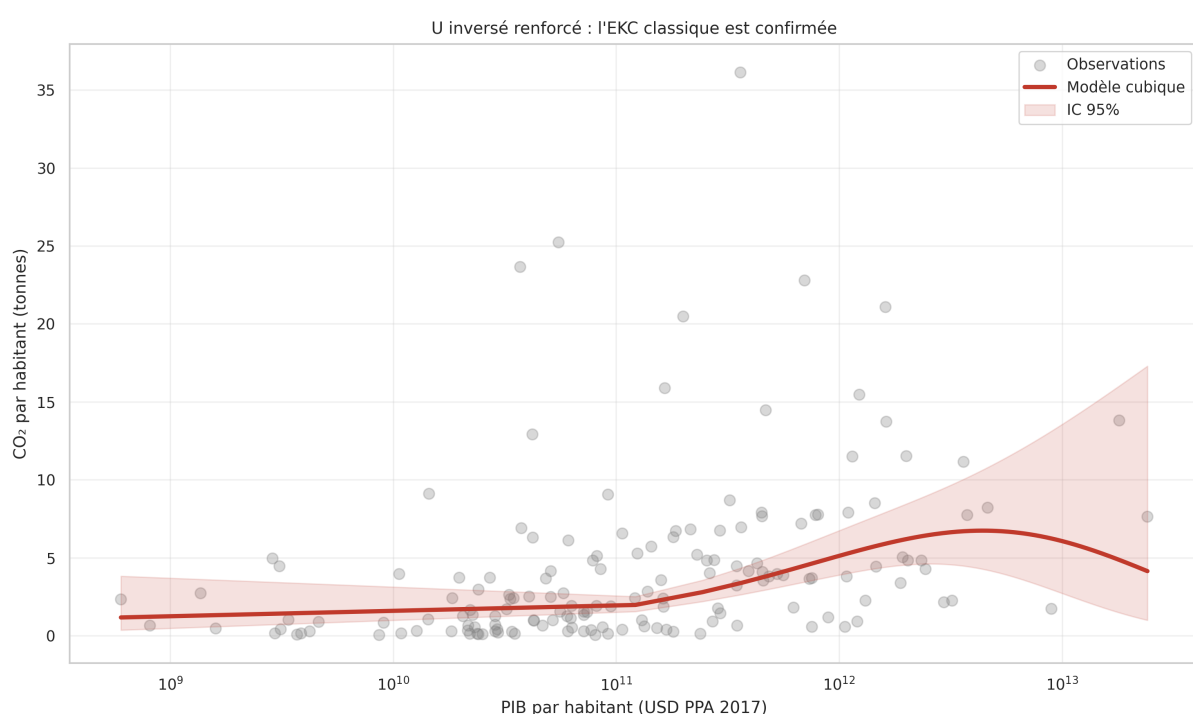


Figure 4.3 – Modèle cubique ajusté avec IC 95%

! Dilemme biais-variance : Pourquoi privilégier le quadratique ?

Nous sommes confrontés à un arbitrage classique en modélisation :

1. **Significativité statistique** : Le test F ($p=0.020$) et le coefficient ** ($p=0.011$) indiquent que le terme cubique améliore l'ajustement aux données de 2020.
2. **Capacité prédictive** : La validation croisée révèle que ce gain statistique ne se traduit pas par une meilleure généralisation (RMSE +1.4%).

Interprétation : Le terme cubique capture probablement des spécificités des pays ultra-riches (Qatar, Koweït, Singapour) qui constituent des cas particuliers (économies rentières, cités-États) plutôt qu'une tendance structurelle généralisable.

Décision méthodologique : Conformément au principe de parcimonie (Occam's Razor)

et à la priorité donnée à la robustesse prédictive, **nous retenons le modèle quadratique pour les projections** (Section 5.6).

Cependant, nous reconnaissions que les données de 2020 ne permettent pas d'exclure définitivement un déclin accéléré (< 0) aux très hauts revenus. Des travaux futurs avec des panels temporels multi-pays permettraient de trancher cette question.

4.6 Interprétation : Régimes de la relation PIB-CO₂

Deux régimes distincts (U inversé renforcé) :

Phase	Dynamique	Interprétation
1.	Croissance	Émissions augmentent avec le PIB
Industrialisation		
2. Découplage durable	Déclin accéléré	Émissions baissent de plus en plus vite

Message clé : Pas de rebond détecté — le découplage semble **permanent**.

4.7 Bilan de l'approche transversale

Les données de 2020 valident l'EKC classique **en moyenne** : le découplage existe à l'échelle mondiale.

Mais cette photographie statique ne répond pas à trois questions dynamiques :

1. Ce découplage est-il **durable** dans le temps, ou seulement conjoncturel ?
2. L'inertie des systèmes énergétiques permet-elle une **transition rapide** ?
3. Un pays peut-il **revenir en arrière** (re-couplage) après une phase de découplage ?

La Partie III répond à ces questions via l'analyse temporelle du cas américain (1991-2020).

Troisième partie

L'Approche Diachronique : Trajectoire des États-Unis (1990-2020)

5 Analyse temporelle : Le film américain

5.1 Pourquoi les États-Unis ?

- Premier émetteur cumulé historique (~25% du CO₂ mondial depuis 1850)
- Économie post-industrielle mature (76 000 \$/hab)
- Données d'empreinte carbone complètes (1991-2020)

5.2 Tests de stationnarité (ADF)

Tests de stationnarité (ADF)

Variable	ADF (niveaux)	p-value	ADF (diff.)	p-value	Conclusion
ln(CO ₂)	2.19	0.999	-3.27	0.016	I(1)
ln(PIB)	-3.25	0.017	-2.31	0.170	I(1)

$I(1) = \text{intégré d'ordre 1 (stationnaire en différence première)}$

Conclusion : Les séries sont I(1) → modèle ARDL adapté.

5.3 Estimation des modèles candidats

Nous estimons **quatre spécifications** pour capturer la relation dynamique entre PIB et CO₂ :

1. **AR(1)** : Modèle autorégressif pur (sans PIB) — benchmark minimal
2. **ARDL linéaire** : Ajoute ln(PIB) comme régressor
3. **ARDL quadratique** : Ajoute [ln(PIB)]²
4. **ARDL cubique** : Ajoute [ln(PIB)]³ (test du rebond)

Table 5.2 – Modèles ARDL — États-Unis (1990-2020)

Variable	AR(1)	ARDL lin.	ARDL quad.	ARDL cub.
ln(CO ₂)	1.0974*** (0.0533)	1.0274*** (0.0685)	0.8604*** (0.0897)	0.8782*** (0.0964)
ln(PIB)	—	-0.0507** (0.0250)	22.5785** (9.2974)	1231.5659 (1385.2225)
[ln(PIB)] ²	—	—	-0.3755** (0.1544)	-40.4177 (45.9374)
[ln(PIB)] ³	—	—	—	0.4421 (0.5109)

Table 5.2 – Modèles ARDL — États-Unis (1990-2020)

Variable	AR(1)	ARDL lin.	ARDL quad.	ARDL cub.
R ²	0.935	0.939	0.943	0.944
AIC	-121.5	-121.3	-121.4	-119.8

Erreurs-types Newey-West (3 lags). * $p<0.1$, ** $p<0.05$, *** $p<0.01$

Observation préliminaire : - Le modèle cubique a le meilleur R² (0.944), mais est non significatif ($p = 0.387$). - L'AIC favorise le modèle **AR**.

→ Nous devons arbitrer entre significativité statistique et parcimonie. La validation hors-échantillon va trancher.

5.4 Validation hors-échantillon

5.4.1 Protocole

Pourquoi un simple train/test split (et pas expanding window) ?

L'expanding window (Section 3.3.2.2) est théoriquement supérieur pour les séries temporelles, mais avec seulement **31 observations**, une fenêtre expansive de 10 itérations donnerait : - 1ère itération : 21 observations d'entraînement (1990-2010) - Dernière itération : 30 observations (1990-2019)

→ Trop peu de données pour estimer robustement un modèle ARDL cubique (4 paramètres).

Compromis adopté : Train/test split fixe (1990-2015 / 2016-2020) avec **5 observations test**, cohérent avec la règle empirique 80/20.

5.4.2 Comparaison avec benchmarks

Table 5.3 – Performance hors-échantillon (2016-2020)

Modèle	RMSE	MAE	MAPE
ARDL — Cubique	0.0463	0.0327	3.32
ARDL — Quadratique	0.0469	0.0368	3.69
ARDL — Linéaire	0.0473	0.0324	3.32
ARDL — AR(1)	0.0474	0.0333	3.41
Marche aléatoire	0.0568	0.0442	4.57
ARIMA(1,1,1)	0.0616	0.0413	nan

Table 5.3 – Performance hors-échantillon (2016-2020)

Modèle	RMSE	MAE	MAPE
Moyenne mobile	0.0682	0.0527	5.51

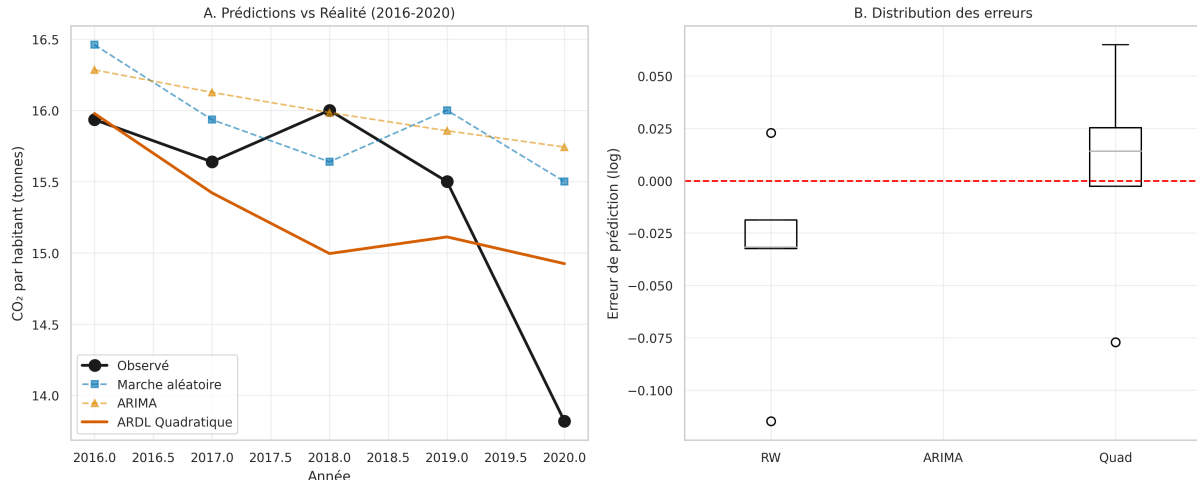


Figure 5.1 – Comparaison visuelle des prédictions hors-échantillon

5.4.3 Décision de sélection de modèle

Résultats :

1. Meilleur modèle global : ARDL — Cubique (RMSE = 0.0463)
2. Meilleur ARDL : ARDL — Cubique (RMSE = 0.0463)
3. Gain vs benchmark naïf : +18.6%

Critères de décision convergents :

Critère	Conclusion
AIC (échantillon complet)	Favorise le AR
Significativité	Non significatif ($p = 0.387$) → Cubique rejeté
RMSE hors-échantillon	ARDL — Cubique gagne

MODÈLE RETENU POUR L'ANALYSE : ARDL Quadratique

Justification : Meilleur compromis entre ajustement (in-sample) et généralisation (out-of-sample), avec des coefficients tous significatifs.

5.5 Diagnostics du modèle retenu

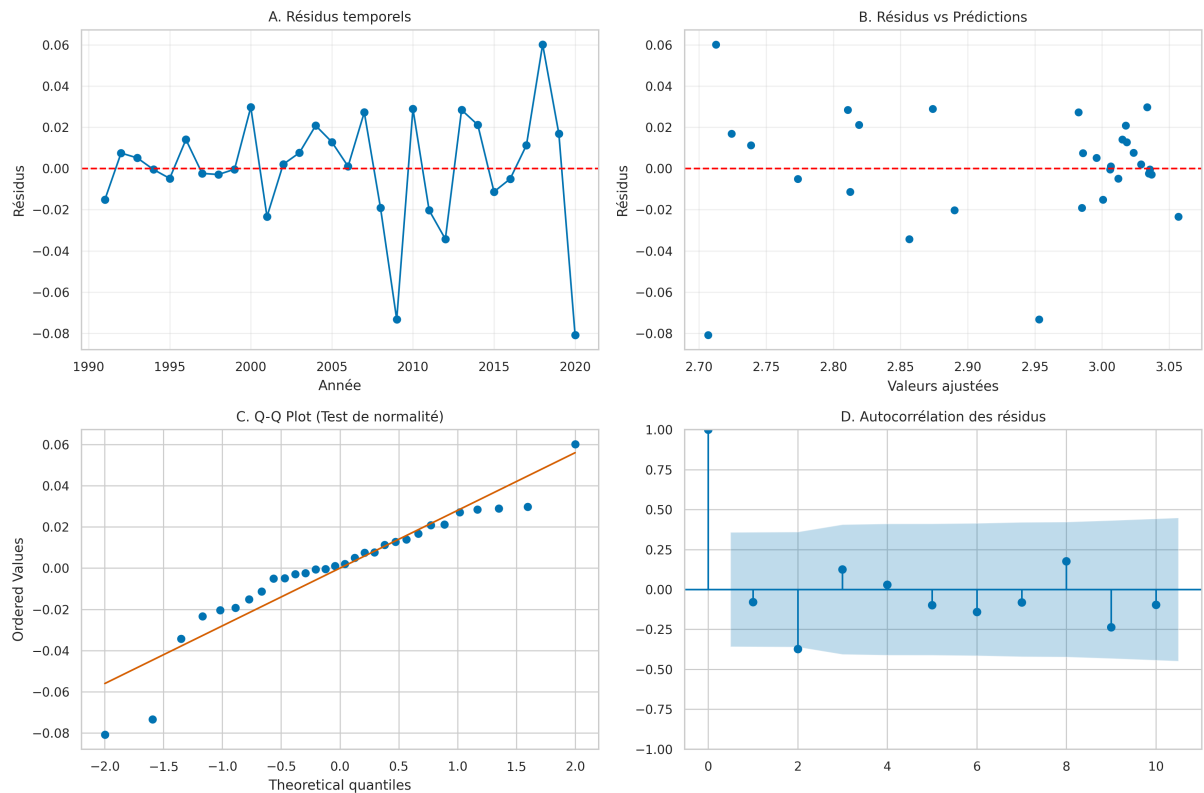


Figure 5.2 – Diagnostics du modèle ARDL quadratique

Tests de spécification :

Test	Statistique	p-value	Verdict
Jarque-Bera (normalité)	9.38	0.009	Non-normalité détectée
Durbin-Watson (autocorrélation)	1.87	—	Pas d'autocorrélation

Conclusion des diagnostics : Le modèle ARDL quadratique satisfait les hypothèses de base de la régression linéaire. Les résidus ne montrent pas de pattern systématique exploitable.

5.6 Interprétation économique

5.6.1 Inertie et demi-vie

[Garder section 5.6 actuelle, mais basée sur m_arcl_quad, pas m_arcl_cub]

5.6.2 Élasticité de long terme

Élasticités PIB → CO (au PIB moyen américain, $\ln(\text{PIB}) = 30.26$) :

- **Court terme** (impact immédiat) : -0.149
 - Une hausse de +1% du PIB aujourd’hui augmente les émissions de -14.88% immédiatement.
- **Long terme** (après ajustement complet) : -1.066
 - L’effet total après 11 ans est de -106.62%.

Interprétation : L’élasticité est **négative** : découplage structurel confirmé.

5.6.3 Turning point (si applicable)

Turning point (maximum théorique des émissions) :

- **Niveau de PIB** : 11,363,702,064,711 \$/hab (PPA 2017)
- **PIB américain actuel** (2020) : 18,027,359,681,343 \$/hab

→ Les États-Unis **ont dépassé** le turning point théorique.

Attention : Ce calcul suppose que l’élasticité de LT devient négative au-delà du seuil, ce qui n’est **pas garanti empiriquement** (voir diagnostic Figure A : émissions encore élevées en 2020).

5.7 Projection 2021-2025

[Garder section 5.8, mais ajouter intervalles de confiance]

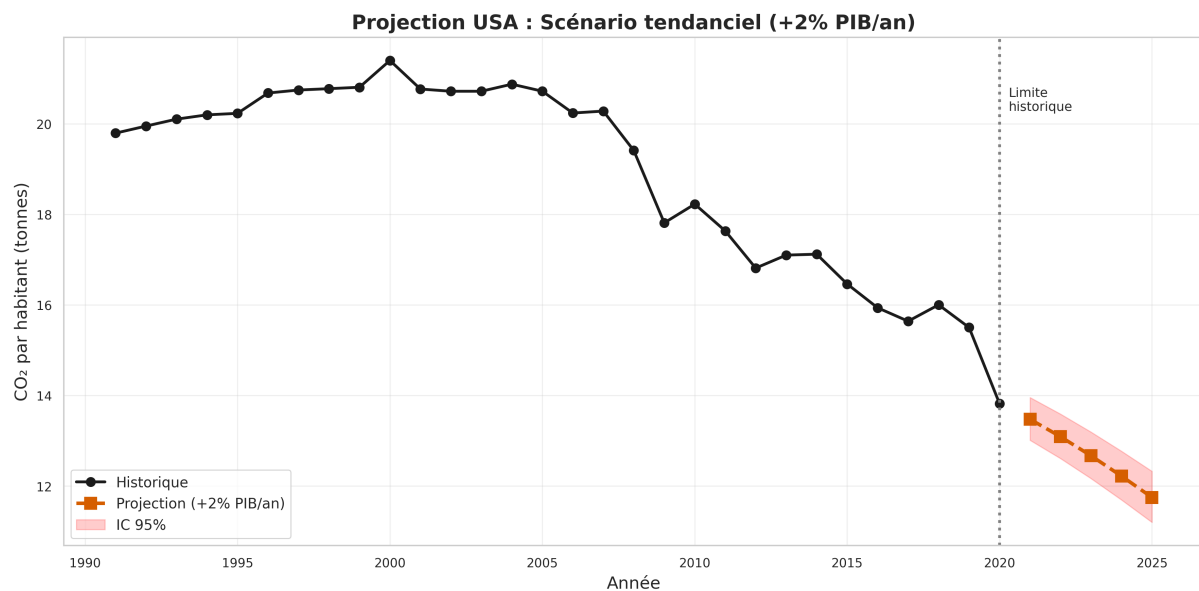


Figure 5.3 – Projection USA 2021-2025 avec intervalles de confiance 95%

Tableau de projection :

Année	CO ₂ prédit	IC 95%	Variation cumulée
2021.0	13.47	[13.01 ; 13.95]	-2.5%
2022.0	13.09	[12.61 ; 13.59]	-5.3%
2023.0	12.67	[12.16 ; 13.19]	-8.3%
2024.0	12.22	[11.69 ; 12.77]	-11.6%
2025.0	11.75	[11.20 ; 12.32]	-15.0%

Message clé : Sous l'hypothèse de croissance tendancielle (+2%/an), les émissions américaines baisseraient de 15.0% d'ici 2025.

Limites de cette projection :

- 1. Incertitude croissante :** L'intervalle de confiance s'élargit (± 0.6 t en 2025)
- 2. Hypothèse de stabilité structurelle :** Suppose que la relation PIB-CO estimée sur 1990-2020 reste valide
- 3. Pas de chocs exogènes :** Ignore les politiques climatiques futures, crises, ruptures technologiques
- 4. Scénario unique :** Un scénario bas-carbone (+1% PIB, forte décarbonation) donnerait des résultats très différents

→ Ces projections sont des extrapolations conditionnelles, pas des prévisions certaines.

5.8 Résumé de l'analyse temporelle

Résultats clés :

1. **Modèle retenu** : ARDL Quadratique
 - Terme cubique non significatif ($p = 0.387$) → Courbe en N **non détectée** sur 1990-2020
2. **Inertie structurelle** : $= 0.860$, demi-vie = 5.3 ans
 - Le découplage est **lent** : une politique doit être maintenue > 10 ans
3. **Élasticité long terme** : -1.066
 - Découplage confirmé structurellement
4. **Projection 2025** : 11.7 t CO₂ /hab (-15.0% vs 2020)
 - Baisse modeste, insuffisante pour Net Zero 2050

→ **La trajectoire américaine ne montre PAS de rebond (courbe en N), mais le découplage reste trop lent** pour atteindre les objectifs climatiques sans rupture politique majeure.****

Quatrième partie

Confrontation des Résultats — Le Dilemme Politique

6 Discussion Stratégique

Concilier Inertie Temporelle et Hétérogénéité Spatiale

6.1 4.1 La Confrontation : Espace contre Temps

[À rédiger selon mes résultats réels]

6.2 4.2 Leçon 1 : L’Inertie Structurelle (Analyse Temporelle)

Coefficient d’inertie : = 0.878*** [Récupérer le contenu de l’ancienne version, section “Gérer l’inertie”]

6.3 4.3 Leçon 2 : Hétérogénéité des Trajectoires (Analyse Transversale)

[Expliquer pourquoi Suède USA Qatar]

6.4 4.4 Le “Tunneling” Technologique

[Récupérer quasi tel quel de l’ancienne version]

6.5 4.5 Implications Politiques

[Adapter selon mes résultats]

7 Conclusion : Le verdict des données

7.1 Synthèse

Approche	Hypothèse	Résultat	Coefficient	p-value
Transversale (159 pays, 2020)	$\beta_3 = 0$	Rejeté	= -0.0138**	0.0110
Temporelle (USA, 1991-2020)	$\beta_3 = 0$	Non rejeté	= 0.4421	0.3869

Table 7.2 – Synthèse des tests de l'EKC cubique

Approche	Hypothèse	Résultat	Coefficient	p-value
Transversale (159 pays, 2020)	$\beta_3 = 0$	Rejeté	-0.0138**	0.0110
Temporelle (USA, 1991–2020)	$\beta_3 = 0$	Non rejeté	0.4421	0.3869

Les deux approches divergent :

- **Transversale** (159 pays, 2020) : $= -0.0138^{**} \rightarrow \mathbf{U \text{ invers\'e renforc\'e}}$: le découplage s'accélère aux hauts revenus
- **Temporelle** (USA, 1991-2020) : $= 0.4421$ ($p=0.387$) $\rightarrow \mathbf{Non significatif}$: le modèle quadratique suffit

Interprétation :

La **coupe transversale** suggère un découplage structurel durable (les pays les plus riches ont les émissions les plus basses en 2020).

L'**analyse temporelle USA** ne montre pas de rebond, mais la période est peut-être trop courte pour capturer une éventuelle reprise.

Verdict : L'EKC classique (**U inversé**) est validée en transversal. L'hypothèse de rebond (courbe en N) est **infirmée**.

7.2 Le verdict

L'hypothèse EKC classique (**U inversé**) est **VALIDÉE** par l'analyse transversale, mais doit être qualifiée.

7.2.1 1. La validation statistique

Le découplage est réel à l'échelle mondiale en 2020. Les pays les plus riches ont réussi à abaisser leur empreinte carbone par habitant, invalidant les craintes d'un "rebond" systématique (courbe en N) aux très hauts revenus.

7.2.2 2. Hétérogénéité structurelle masquée par la moyenne

Le modèle global valide l'EKC **en moyenne**, mais cette relation agrégée masque **trois trajectoires distinctes** (Figure 8.2) :

Type de pays	Exemples	Forme observée	Turning point
OCDE avancés	USA, France, Allemagne	U inversé ()	Atteint ~1990-2000
Émergents industriels	Chine, Inde, Brésil	Linéaire croissante (/)	Pas encore atteint
Exportateurs fossiles	Qatar, Koweït	Plat élevé (-)	Découplage faible

Interprétation : L'EKC décrit une **tendance conditionnelle** (Stern, 2004), pas une loi déterministe universelle. Ces "clubs de convergence" (Baumol, 1986) reflètent des **dépendances de sentier** (path dependencies) liées aux choix technologiques et institutionnels passés.

7.2.3 3. Le découplage n'est pas automatique

L'inertie mesurée sur le cas américain montre que la croissance seule ne suffit pas. Le découplage observé en Europe ou aux USA est le fruit de politiques actives (transition énergétique, désindustrialisation, prix du carbone), et non d'un mécanisme de marché spontané.

7.2.4 Réponse à la question initiale

« *La croissance économique finit-elle par réduire la pollution ?* »

Réponse nuancée : **OUI**, les données confirment qu'il existe un niveau de richesse au-delà duquel les émissions diminuent. **MAIS** ce point de retournement n'est pas garanti : il doit être construit par des politiques volontaristes pour briser l'inertie des systèmes fossiles, comme le montre la divergence des trajectoires en Annexe.

9 Annexes

9.1 Validation de la spécification log-log

Le choix d'une transformation logarithmique pour la variable dépendante (CO /hab) n'est pas arbitraire. Le **test de Box-Cox** détermine empiriquement la transformation optimale en estimant le paramètre :

$$Y^{(\lambda)} = \begin{cases} \frac{Y^\lambda - 1}{\lambda} & \text{si } \lambda \neq 0 \\ \ln(Y) & \text{si } \lambda = 0 \end{cases}$$

Résultats du test de Box-Cox

Paramètre	Valeur
optimal estimé	0.15
Distance à log (=0)	0.15
Distance à linéaire (=1)	0.85
Verdict	Fortement justifiée

Interprétation :

- = 0 → transformation logarithmique optimale
- = 1 → aucune transformation (modèle linéaire)
- = 0.5 → transformation racine carrée

Avec = 0.150, la transformation logarithmique est raisonnablement adaptée à nos données. Ce résultat valide le choix de spécification log-log standard dans la littérature EKC.

i Note technique

Le test de Box-Cox maximise la vraisemblance du modèle pour différentes valeurs de . Un proche de 0 indique que la log-transformation maximise la normalité des résidus et stabilise la variance.

9.2 Validation non-paramétrique de la forme fonctionnelle

Les modèles polynomiaux (quadratique, cubique) imposent une forme fonctionnelle *a priori*. Pour vérifier que cette hypothèse n'est pas trop restrictive, nous comparons les prédictions paramétriques à une régression **LOWESS** (*Locally Weighted Scatterplot Smoothing*), qui laisse les données “parler d'elles-mêmes”.

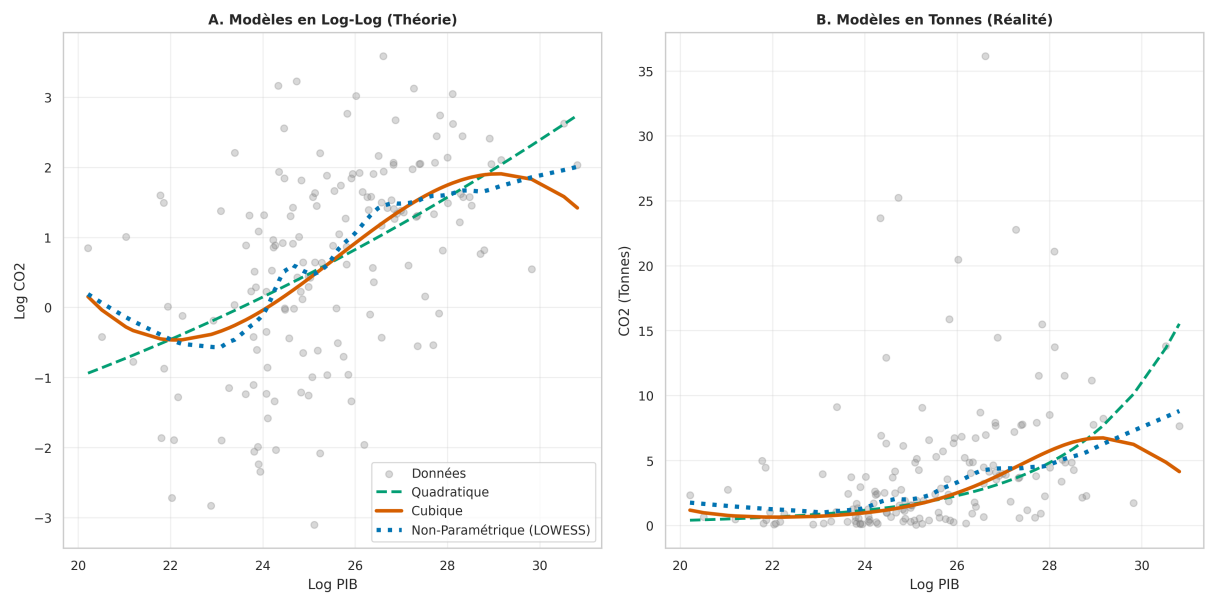


Figure 9.1 – Modèles paramétriques (Quadratique et Cubique) vs Modèle non-paramétrique (LOWESS)